

МИНИСТЕРСТВО ОБРАЗОВАНИЯ И НАУКИ
САНКТ – ПЕТЕРБУРГСКИЙ НАЦИОНАЛЬНЫЙ ИССЛЕДОВАТЕЛЬСКИЙ
УНИВЕРСИТЕТ ИНФОРМАЦИОННЫХ ТЕХНОЛОГИЙ, МЕХАНИКИ И ОПТИКИ

ФАКУЛЬТЕТ ИНФОКОММУНИКАЦИОННЫХ ТЕХНОЛОГИЙ

КАФЕДРА ПРОГРАММНЫХ СИСТЕМ

ОТЧЁТ
по лабораторной работе

«СПЕКТРАЛЬНЫЙ АНАЛИЗ»

Выполнила: студентка группы К4120
Загряжская Н.И

Проверил: к.т.н., доцент И.В. Ананченко

Санкт – Петербург
2017

Цель: Изучить основные методы спектрального анализа сигналов в среде Mathcad и Matlab.

Ход работы:

1. Выполним прямое и обратное преобразование Фурье детерминированного сигнала, представленного в виде дискретной функции меняющийся по гармоническому закону. Для задания в Mathcad определим постоянные величины, входящие в функцию и ограничим число k . Пусть: $A = 2, \psi = \pi / 4, T = 200, \Delta t = 1, k = 0, 1, \dots, 1023$. Решение предоставлено на Рисунках 1 и 2.

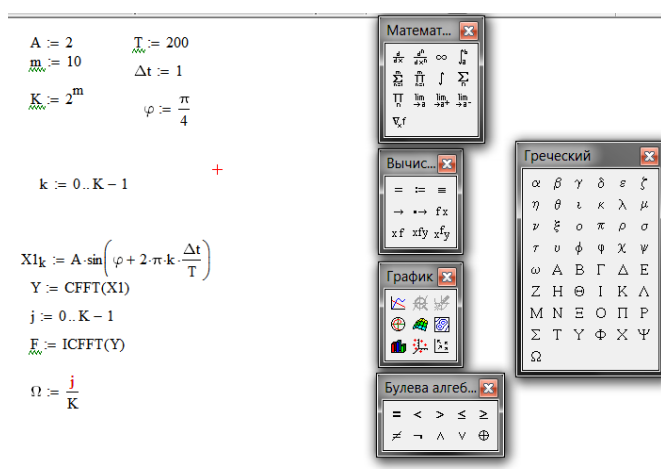


Рисунок 1 — Листинг вычисления преобразований Фурье заданного сигнала.

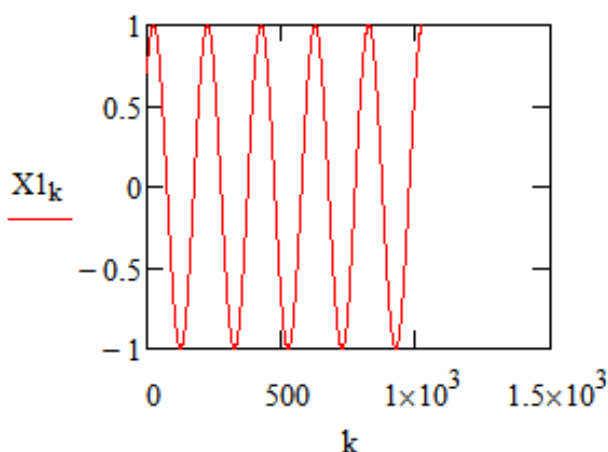


Рисунок 2 — Результат вычисления преобразований Фурье заданного сигнала

2. Реализации быстрого преобразования Фурье в MATLAB для дискретной функции меняющейся по гармоническому закону.

Листинг программы примет вид:

```
clear all
K=1024;k=1:1:1024;
A=2;T=200;dt=1;ksi=pi/4;
s=(2*pi*(k-1)*dt)/T;
X1=A*sin(s+ksi);
Y=fft(X1);
F=ifft(Y);
f=(0:length(Y)-1)/length(Y);
figure(1)
clf
subplot(311),plot(X1)
xlim([0 1024]);
subplot(312),plot(f,abs(Y))
ylim([0 1200]);
subplot(313),plot(F)
xlim([0 1024]);
ylim([-2 2]);
```

Результат работы программы изображен на Рисунке 3.

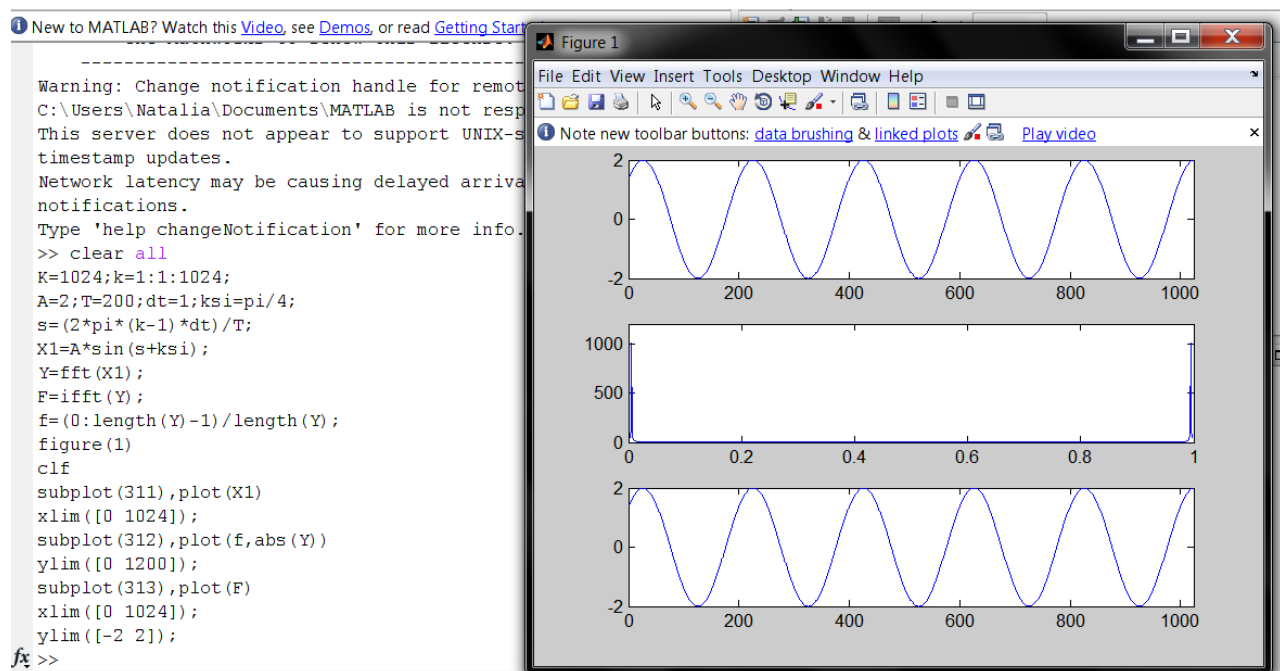


Рисунок 3 — Графики сигнала (а) и его прямого (б) и обратного (в) преобразований Фурье

Упражнение 4(Индивидуальное задание).

1. Осуществить прямое и обратное Фурье-преобразование тестовых сигналов $x(t)_k$, представленных в виде следующих функций:

№1.
$$X_k = A \sin \left(2 \cdot \pi \cdot \frac{(k \cdot 0.3)^n \Delta t}{T} + \psi \right) + 2, \quad \text{где} \quad A = 3, \quad T = 200, \Delta t = 1, \quad \psi = \pi / 6,$$
$$n = 1,45, k = 0,1, \dots, 1023.$$

Решение задания 1:

```

A := 3
T := 200
m := 10
Δt := 1
K := 2m
φ :=  $\frac{\pi}{6}$ 
k := 0, 1..1023
n := 1.45
X1k := A · sin $\left[\varphi + 2 \cdot \pi \cdot (k \cdot 0.3)^n \cdot \frac{\Delta t}{T}\right]$ 
Y := CFFT(X1)
j := 0..K - 1
Fj := ICFFT(Y)
Ωj :=  $\frac{j}{K}$ 

```

Результат вычислений (Рисунок 4):

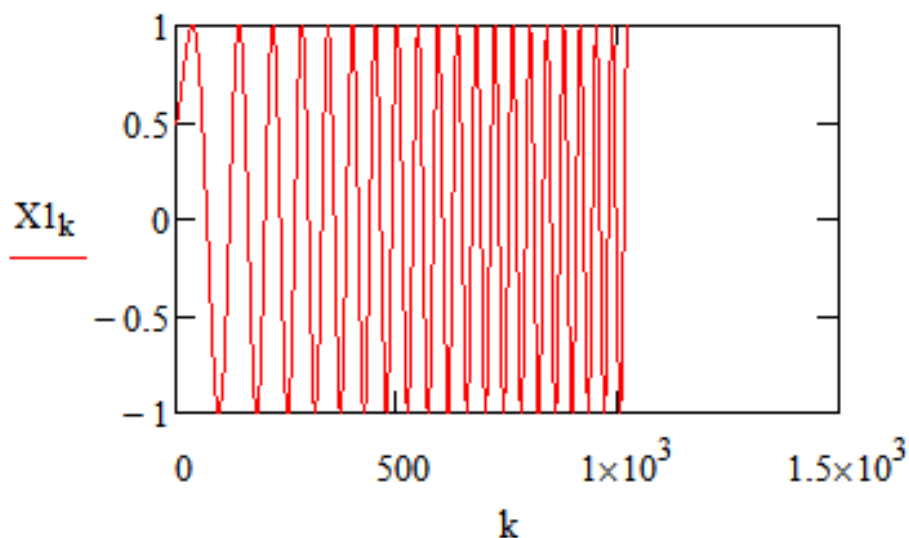


Рисунок 4 — Результат вычислений по первому индивидуальному заданию

№2. $X_k = A \sin\left(2 \cdot \pi \cdot \frac{(k \cdot 0.3)^n \Delta t}{T} + \psi_k\right) + 2$, где ψ_k — случайная фаза, равномерно распределенная (с постоянной вероятностью) на отрезке $[0, \pi/6]$. Остальные параметры сигнала такие же, как для сигнала №1.

Решение задания 2:

```

A := 3
T := 200
k := 0, 1..1023
m := 10
Δt := 1
K := 2m

```

$$\varphi_k := \frac{\text{rnd}(k + 1) \cdot \pi}{(k + 1) \cdot 6}$$

$$n := 1.45$$

$$X1_k := A \cdot \sin \left[\varphi_k + 2 \cdot \pi \cdot (k \cdot 0.3)^n \cdot \frac{\Delta t}{T} \right]$$

$$Y := \text{CFFT}(X1)$$

$$j := 0..K - 1$$

$$\underline{F}_j := \text{ICFFT}(Y)$$

$$\underline{\Omega}_j := \frac{j}{K}$$

Результат вычислений (Рисунок 5):

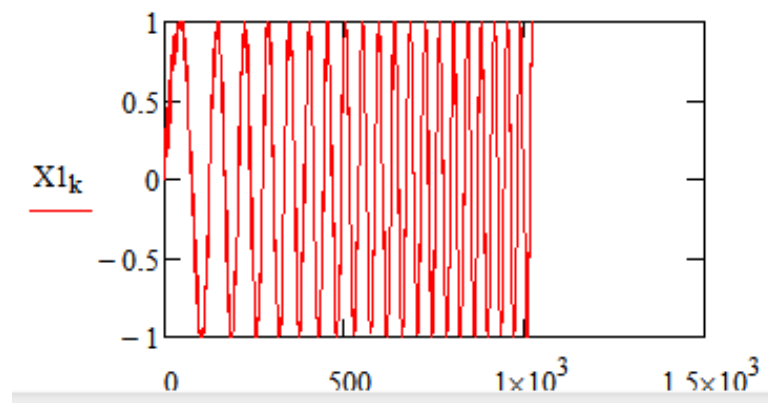


Рисунок 5 — Результат вычисления

Вывод:

Спектральный анализ базируется на выполнении преобразований Фурье и заключается в разложении сигнала на его частотные или спектральные составляющие, а также оценке их спектральных характеристик – амплитуды, фазы, спектральной плотности мощности.

Преобразование Фурье — операция, сопоставляющая одной функции вещественной переменной другую функцию вещественной переменной.

Прямое преобразование Фурье — это формула для коэффициентов A_n , выражающая их значения через исходную функцию.

Обратное преобразование Фурье, в данном случае — формула для восстановления значений функции по известным коэффициентам разложения ее в ряд Фурье.

Для осуществления дискретного преобразования Фурье необходимо:

- 1) Задать функцию тестового сигнала;
- 2) Провести процедуру прямого и обратного преобразования Фурье с использованием алгоритма быстрого преобразования Фурье (БПФ);
- 3) Вывести результаты в виде графиков:
 - a) функция сигнала (в зависимости от числа отсчетов);
 - b) прямое преобразование Фурье (в зависимости от частоты);
 - c) обратное преобразование Фурье (в зависимости от числа отсчетов).

Быстрым преобразованием Фурье (БПФ) называют набор алгоритмов, реализация которых приводит к существенному уменьшению вычислительной сложности ДПФ. Основная идея БПФ состоит в том, чтобы разбить исходный N -отсчетный сигнал $x(n)$ на два более коротких сигнала, ДПФ которых могут быть скомбинированы таким образом, чтобы получить ДПФ исходного N -отсчетного сигнала.

Так, если исходный N -отсчетный сигнал разбить на два $N/2$ -отсчетных сигнала, то для вычисления ДПФ каждого из них потребуется около $(N/2)^2$ комплексных умножений. Тогда для вычисления искомого N -отсчетного ДПФ потребуется порядка $2(N/2)^2 = N^2/2$ комплексных умножений, т.е. вдвое меньше по сравнению с прямым вычислением. Операцию разбиения можно повторить, вычисляя вместо $(N/2)$ -отсчетного ДПФ два $(N/4)$ -отсчетных ДПФ и сокращая тем самым объем вычислений еще в два раза. Выигрыш в два раза является приблизительным, поскольку не учитывается, каким образом из ДПФ меньшего размера образуется искомое N -отсчетное ДПФ. Существует большое количество алгоритмов БПФ. К примеру алгоритм БПФ с прореживанием по времени.

Алгоритм БПФ для комплексных данных встроен в соответствующие функции, в имя которых входит литера «с».

- 1) $\text{cfft}(y)$ – вектор прямого комплексного преобразования Фурье;

- 2) $\text{CFFT}(y)$ – вектор прямого комплексного преобразования Фурье в другой нормировке;
- 3) $\text{icfft}(\nabla)$ – вектор обратного комплексного преобразования Фурье;
- 4) $\text{ICFFT}(\nabla)$ – вектор обратного комплексного преобразования Фурье в другой нормировке.

Для стационарного случайного процесса $X(t)$ справедлива теорема Винера-Хинчина, которая устанавливает связь между его энергетическим спектром $F()$ и корреляционной функцией $R()$ с помощью преобразований Фурье.

Функцию частоты $F(\omega)$ называют энергетическим спектром стационарного случайного процесса. Этот спектр дает только усредненную картину распределения энергии процесса по частотам элементарных гармонических составляющих, но не учитывает их фазовой структуры. Поэтому величина $F(\omega)$ представляет удельную мощность, приходящийся на спектральную составляющую сигнала $X(t)$ в окрестности выбранной частоты.

Применимость теоремы Винера-Хинчина только стационарными процессами, среднее значение которых равно нулю. Если это условие выполнено то энергетический спектр $F()$ стационарного случайного процесса – непрерывная функция частоты.

Автокорреляционная функция случайного сигнала определяется следующим образом:

$$R_n := \frac{1}{K-n+1} \cdot \sum_{k=0}^{K-n} [(X_{1k} - E1) \cdot (X_{1k+n} - E1)]$$